

SYMPOZJON "MODELOWANIE W MECHANICE"

POLSKIE TOWARZYSTWO MECHANIKI TEORETYCZNEJ I STOSOWANEJ

Beskid Śląski, 1990

Maciej Minch, Dariusz Styś

Instytut Budownictwa

Politechnika Wrocławska

## ROZWIĄZANIE TARCZY ZARYSOWANEJ POD OBCIĄŻENIEM RUCHOMYM

Streszczenie. W pracy przedstawiono analizę drgań niestabilnych zarysowanej tarczy żelbetowej pod działaniem obciążeń ruchomych. Rozwiązanie zadania dynamicznego podano w formie układu równań całkowych, których jądra stanowią tensory Stokesa, stosując pośrednią wersję metody elementów brzegowych. Zamieszczono wybrany przykład liczbowy.

1. Wstęp

Niestabilne drgania tarcz jednorodnych, wywołane obciążeniem ruchomym, uważać można za znane. Zarysowanie żelbetowej konstrukcji tarczy powoduje znaczną redystrybucję naprężeń  $\sigma_{ij}$ , zaś pole przemieszczeń  $u_i$  w miejscach rys  $l$  doznaje skończonego skoku  $r = u^1(Q) - u^2(Q)$ ,  $Q \in l$ , stąd wykorzystanie rozwiązania tarcz jednorodnych w przypadku konstrukcji z rysami jest nieprzydatne. Celem niniejszej pracy jest zastosowanie metody elementów brzegowych (BEM) do analizy pracy żelbetowych tarcz zarysowanych pod działaniem obciążeń ruchomych.

Zaletą zastosowania BEM jest mniejsza liczba stopni swobody niż w innych metodach numerycznych. Wadami są konieczność znajomości rozwiązania podstawowego, niesymetryczne macierze układu równań rozwiązujących oraz stosunkowo skomplikowany algorytm obliczeń.

Rozpatruje się tarczę w płaskim stanie naprężenia, sprężysta i izotropowa, bowiem anizotropia wywołana zbrojeniem może być pominięta. Tarcza zajmuje obszar  $\Omega$  i ograniczona jest brzegiem  $\partial\Omega$ . Celem zwiększenia przejrzystości zapisu założono, że w obszarze  $\Omega$  istnieje pojedyncza i niepropagująca się rysa krzywoliniowa  $l$ . Rysa ta dzieli obszar  $\Omega$  na dwa podobszary  $\Omega_1$  i  $\Omega_2$ ,  $\Omega = \Omega_1 \cup \Omega_2$ , zaś brzeg tarczy  $\partial\Omega$  na dwie części  $\partial\Omega_1$  i  $\partial\Omega_2$ , gdzie  $\partial\Omega = \partial\Omega_1 \cup \partial\Omega_2$ . W zadaniu przyjęto warunki początkowe:

$$u_i(T, t) = u_i^0(T) \quad , \quad T \in \Omega \quad , \quad (1)$$

$$\dot{u}_i(T, t) = \dot{u}_i^0(T) \quad , \quad T \in \Omega \quad , \quad (2)$$

warunki brzegowe na  $\partial\Omega$ :

$$u_i(Q, t) = \tilde{u}_i(Q, t) \Big|_{\partial\Omega_1} \quad , \quad (3)$$

$$\sigma_{ij}(Q, t) n_j(Q) = \tilde{P}_i(Q, t) \Big|_{\partial\Omega_2} \quad (4)$$

oraz warunki graniczne w rysie  $l$ :

$$u_i(Q, t) = r_i(Q, t) \Big|_l \quad . \quad (5)$$

Dla rozpatrywanego tu zadania płaskiego indeksy  $i, j$  przyjmują wartości  $i, j = 1, 2$ .

## 2. Rozwiązanie podstawowe

Jako rozwiązanie podstawowe przyjęto w niniejszej pracy rozwiązanie Stokesa [1] dla tarczy nieograniczonej obciążonej siłą skupioną  $P = \delta(t - \tau) \delta(T - Q) \delta_{ij} e_i$ . Tutaj  $\delta_{ij}$  oznacza symbol Kroneckera, zaś  $\delta$  jest funkcją typu  $\delta$ -Diraca. Pod wpływem obciążenia siła jednostkowa  $e_j$  przemieszczenia w punkcie  $T$  tarczy w chwili  $t$  wywołane siłą działającą w punkcie  $Q$  w kierunku osi  $i$  wyraża się przez tensor Stokesa następująco:

$$u_i(T, t) = S_{ij}(T, t, Q, \tau) e_j(Q) \quad . \quad (6)$$

gdzie:

$$S_{ij} = S_{ij}^1 + S_{ij}^2 \quad (7)$$

oraz

$$S_{ij}^1 = \frac{1}{4\pi\rho r} \left[ - \left( \frac{3R_i R_j}{r^2} - \delta_{ij} \right) \int_0^{c-L} \lambda \delta(t - \tau - \lambda r) d\lambda + \frac{R_i R_j}{r^2 c_L^2} \delta\left(t - \tau - \frac{r}{c_L}\right) \right] \quad (8)$$

$$S_{ij}^2 = \frac{1}{4\pi\rho r} \left[ \left( \frac{3R_i R_j}{r^2} - \delta_{ij} \right) \int_0^{c_T^{-1}} \lambda \delta(t - \tau - \lambda r) d\lambda + \right. \\ \left. - \frac{R_i R_j}{r^2 c_T^2} \delta\left(t - \tau - \frac{r}{c_T}\right) + \frac{\delta_{ij}}{c_T^2} \delta\left(t - \tau - \frac{r}{c_T}\right) \right] \quad (9)$$

Tutaj  $R_i = T_i - Q_i$  i  $r^2 = R_i^2$ ,  $\rho$  jest gęstością masy,  $\lambda$  oraz  $\mu$  są stałymi sprężystości, zaś  $c_L$  i  $c_T$  oznaczają odpowiednio prędkości dylatacyjną i dystorsyjną fal:

$$c_L = \left( \frac{\lambda + 2\mu}{\rho} \right)^{\frac{1}{2}}, \quad c_T = \left( \frac{\mu}{\rho} \right)^{\frac{1}{2}} \quad (10)$$

Naprężenia w punkcie  $(T, t)$  tarczy wyraża się wzorem:

$$\sigma_{ij} = \rho \left[ (c_L^2 - 2c_T^2) S_{pk,p} \delta_{ij} + c_T^2 (S_{ik,j} + S_{jk,i}) \right] e_k \quad (11)$$

lub inaczej analogicznie jak (7):

$$\sigma_{ij} = M_{ijk}(T, t; Q, \tau) e_k(Q) = (M_{ijk}^1 + M_{ijk}^2) e_k(Q) \quad (12)$$

Wypisując warunek napięć otrzymano:

$$N_i(T, t) = F_{ik}(T, t; Q, \tau) e_k(Q) \quad (13)$$

gdzie:

$$F_{ik} = M_{ijk} n_j = M_{ijk}^1 n_j + M_{ijk}^2 n_j \quad (14)$$

### 3. Rozwiązanie całkowe

Do rozwiązania zadania przyjęto pośrednią wersję BEM z obciążeniem siłami fikcyjnymi na krzywej  $s$  leżącej na zewnątrz brzegu  $\partial\Omega \cup l$  tarczy:

$$u_i(T, t) = \int_s (S_{ij} * \bar{\Phi}_j) ds + \quad (15)$$

$$+ \rho \int_{\Omega} (S_{ij} * b_j) d\Omega + \rho \int_{\Omega} (\dot{u}_j^{\circ} S_{ij}|_{\tau=0} + u_j^{\circ} \dot{S}_{ij}|_{\tau=0}) d\Omega$$

$$N_i(T, t) = \int_s (F_{ij} * \bar{\Phi}_j) ds + \quad (16)$$

$$+ \rho \int_{\Omega} (F_{ij} * b_j) d\Omega + \rho \int_{\Omega} (\dot{u}_j^{\circ} F_{ij}|_{\tau=0} + u_j^{\circ} \dot{F}_{ij}|_{\tau=0}) d\Omega$$

Tutaj symbol  $*$  oznacza mnożenie splotowe, zaś  $b_j$  siły masowe na

jednostkę masy. Przyjęcie wersji pośredniej BEM ma na celu uniknięcie osobliwości przy całkowaniu po brzegu  $\partial\Omega \cup l$ . Potencjał brzegowy  $\bar{\Phi}_j$  jest niewiadomą o wymiarze obciążenia ciągłego na  $s$ . Wyznaczenie  $\bar{\Phi}_j$  wymaga wykorzystania warunków brzegowych (3), (4) oraz granicznych (5). Po określeniu  $\bar{\Phi}_j$  przemieszczenia i napięcia w tarczy wylicza się bezpośrednio ze wzorów (15) i (16). Dla obciążenia tarczy siłą skupioną poruszającą się ze stałą prędkością  $v$  po brzegu  $\partial\Omega_2$  warunek (4) przyjmie postać:

$$\sigma_{ij}(\Omega, t) n_j(\Omega) = \bar{P}_i \delta(t - \tau) \delta(\Omega - vt) \delta_{ij} \quad (17)$$

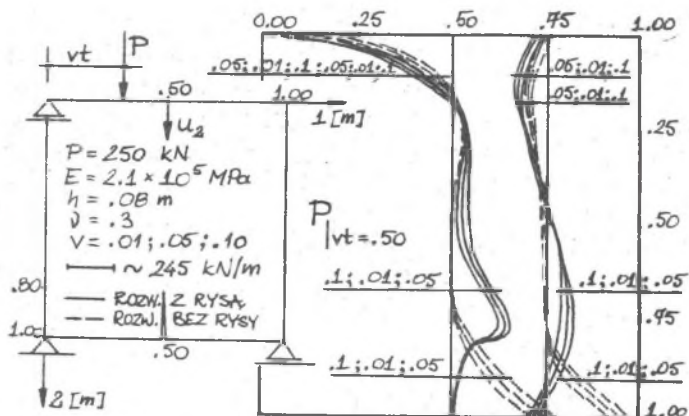
Zadanie przedstawione powyżej dotyczy rysy z jawnie określoną wartością rozwarcia  $r(\Omega, t)$ , niezależną od wielkości sił w tarczy (dotyczy to np. szczeliny). W przypadku żelbetowej tarczy zarysowanej "uzewnętrznione" zbrojenie w rysie przenosi dodatkowe siły tak, że jej brzegi nie są wolne od napięć  $N_i$ . Zatem warunek graniczny (5) okazuje się bardziej skomplikowany (por. np. [2]):

$$u_i(\Omega, t) = r_{oi}(\Omega, t) + r_{ii} N_i(\Omega, t) n_i \quad (18)$$

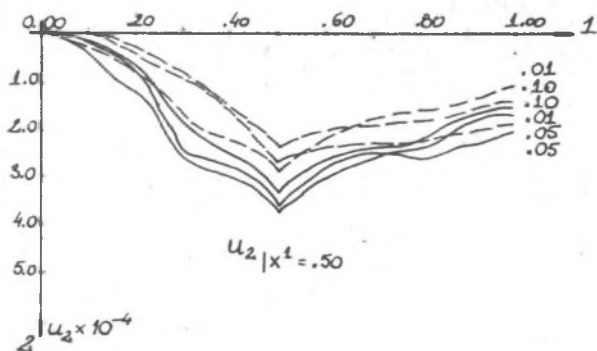
Tutaj  $r_{oi}$  opisuje deformacje trwałe rysy, zaś  $r_{ii}$  jej deformacje sprężyste. Wyznaczenie wielkości  $r$  odbywa się z warunków równowagi przekroju zarysowanego, przy założeniach przyjmowanych z teorii rys w konstrukcjach żelbetowych i w przypadku obciążeń dynamicznych jest trudne oraz złożone.

Wykorzystanie warunku (18) komplikuje zadanie w zasadniczy sposób. Okazuje się że część równań zależy jawnie od niewiadomych funkcji podcałkowych. Przy dyskretyzacji zadania i rozwiązywaniu układów równań konieczne jest stosowanie metody kolejnych przybliżeń dla ustalonej dyskretyzacji czasowo-punktowej, co znacznie zwiększa czasochłonność obliczeń numerycznych. Stwierdzono, że pierwsze przybliżenie  $N_i$  jak dla tarczy jednorodnej zapewnia dobrą zbieżność iteracji. W rozwiązaniu przyjęto krzywą  $s$  w kształcie elipsy z obciążeniem jej zbiorem sił skupionych  $\bar{\Phi}_j$ . Takie zastosowanie zmodyfikowanej wersji BEM przyjęto np. w pracy [3].

Na rys. 1 i 2 przedstawiono wybrane wyniki obliczeń numerycznych kwadratowej, żelbetowej tarczy zarysowanej dla trzech prędkości  $v$  w porównaniu z tarczą bez rysy. Zauważyć można istotną redystrybucję przemieszczeń i napięć w tarczy z rysą w stosunku do tarczy jednorodnej.



Rys. 1. Napięcia poziome  $N_1$  w tarczy sprężystej i zarysowanej w zależności od prędkości  $v$



Rys. 2. Przemieszczenie  $u_2$  w zależności od prędkości  $v$  w tarczy sprężystej i zarysowanej o schemacie jak na rys. 1

## LITERATURA

- [1] Banerjee, P. K., Butterfield, R.; Boundary Element Methods in Engineering Science. London, New York, 1981.
- [2] Minch, M.; Metoda teoretycznego wyznaczania naprężeń w żelbetowych tarczach zarysowanych. Rozp. Inż. t. 28, z. 3, s. 445-468, 1980.
- [3] Mathson R., Johnston R.L.; The approximate solution of Elliptic Boundary-Value Problems by Fundamental Solutions SIAM J. Num. Anal. 14, 1977, s. 638-650.

РЕШЕНИЕ ВВПРОФИЛИРОВАННОГО ДИСКА НАХОДЯЩЕГОСЯ  
ПОД ВОЗДЕЙСТВИЕМ ПОДВИЖНОЙ НАГРУЗКИ

## Резюме

В работе представлен анализ нерепделенных колебания выпро-  
филлированного железобетонного диска, находящегося под воздей-  
ствием подвижной нагрузки. Решение динамической задачи представлено  
в форме системы дифференциальных уравнений, ядро которых состав-  
ляют тензоры Стокса, с применением промежуточной вестии метода  
конечных элементов. Дан числовой пример.

## SOLUTION OF RC CRACKED PLATE UNDER THE MOVING LOAD

## Summary

The paper presents an analysis of transient vibrations in  
cracked RC plate, loaded in its plane, under the effect of moving  
forces. The solution of the dynamic problem in the indirect BEM  
version is given in terms of a system of integral equations, the  
kernels of which are Stokes tensors. The paper is illustrated by  
number of numerical examples.